

© Кукушкин С.С., Нестеровский И.С.
Kukushkin S., Nesterovskiy I.

МЕТОДЫ НЕТРАДИЦИОННОГО ПРЕДСТАВЛЕНИЯ ДАННЫХ ОБРАЗАМИ-ОСТАТКАМИ И АНАЛИЗА ЭФФЕКТИВНОСТИ ИХ ПРИМЕНЕНИЯ

NON-TRADITIONAL METHODS OF DATA IMAGES OF THE RESIDUAL AND ANALYZE THEIR PERFORMANCE

Аннотация. Статья посвящена проблеме повышения эффективности передачи ТМИ при использовании структурно-алгоритмических методов, использующих нетрадиционное представление передаваемых данных образами-остатками. Детально исследуются новые возможности по повышению качества и скрытности передаваемой телеметрической информации, появляющиеся при сравнении данных телеизмерений по двойному модулю: с использованием модулей-чисел и модулей-полиномов. Показаны основные преимущества подобных представлений и их недостатки, которые необходимо устранить. Сравнительный анализ различных альтернативных вариантов обеспечен на основе статистико-лингвистического анализа, использующего модернизированное частотно-ранговое представление словоформ.

Annotation. The article is devoted to a problem of improving the efficiency of transmission of the TMI data using structural-algorithmic methods using non-traditional presentation of transmitted data residuals. Thoroughly investigate new opportunities to improve the quality and secrecy of transmitted telemetry information that appears when comparing data telemetry system for double module: using modules-numbers and modules-polynomials. The basic advantages of such representations and their shortcomings that must be addressed. Comparative analysis of various options provided on the basis of statistical and linguistic analysis, using today's rank-frequency representation of word forms.

Ключевые слова. Телеметрия, нетрадиционное представление данных образами-остатками, восстановление и обработка цифровых сигналов, искаженных помехами.

Key words. Telemetry, not the traditional presentation of data residuals, recovery and processing of digital signals distorted by noise.

Введение

В условиях жестких финансово-экономических ограничений на развитие и модернизацию измерительных комплексов космодронов значительная роль в повышении точностных характеристик измерений отводится алгоритмическим методам. При этом определяющее значение для повышения эффективности информационно-измерительного обеспечения (ИИО) испытаний и штатной эксплуатации РКТ приобретают новые методы представления, передачи и обработки данных измерений, составляющие основу новых измерительных, вычислительных и информационных технологий и ориентированные на широкое применение вычислительной технику

(ВТ). В их числе методы разработанной нетрадиционной прикладной теории конечных полей [1], как системообразующей основы объединения различных принципов представления, передачи и обработки данных на принципиально новой научно-методической базе. Ее основу составляет конструктивная теорема об остатках (КТО) [1], а также обобщение различных результатов исследований в области теории чисел [2], эффективности систем счислений [3] и защищенности информации от несанкционированного доступа [4] и помех [5].

Классическая теория конечных полей [6] была приспособлена для решения только частных прикладных задач таких, например, как помехоустойчивое ко-

Кукушкин Сергей Сергеевич – ведущий научный сотрудник 4 ЦНИИ Минобороны России, доктор технических наук, профессор, тел.+7(495)515-19-82.

Нестеровский Игорь Сергеевич – научный сотрудник 4 ЦНИИ Минобороны России, тел.+7(256)2-84-83.

Kukushkin Sergey – the main scientific employee 4 Central Scientific Research Institute Ministry of Defence of Russia, doctor of the technical sciences, professor. Ph.+7(495)515-19-82.

Nesterovskiy Igor – scientific employee 4 Central Scientific Research Institute Ministry of Defence of Russia.

дирование передаваемой информации [5]. Поэтому, когда появилась необходимость в ее применении для решения проблем, сложившихся в существующем телеметрическом комплексе, то потребовалась ее принципиальная перестройка.

Вся разработанная теория, направленная на повышение качества ИТО испытаний вооружения и военной техники (ВВТ) и защиты данных от помех, могла бы оказаться бесполезной для практической реализации, если бы не были найдены в ходе проведенных исследований упрощенные алгоритмы преобразования и восстановления ТМИ, представленной образами-остатками [1]. Наиболее значительные исследования были проведены в направлении поиска таких замещающих математических конструкций (ЗМК), которые бы отличались от известных аналогов наибольшей простотой технической реализации. Примером подобных ЗМК является и адаптивный алгоритм восстановления в исходном виде данных, которые с целью повышения помехоустойчивости их передачи были представлены образами-остатками [1].

Потребность в ЗМК возникает всегда, когда попытка решения поставленной задачи классическими методами не приводит к успеху.

Так, в результате проведенных исследований было показано, что основные алгоритмы преобразования данных ТМИ в образы – остатки существенно упрощаются при использовании двоичного представления данных с использованием символов «0» и «1». Это свойство появляется только при представлении данных двоичным кодом. Ни одна из существующих теорий, кроме КТКП, не опускается до кодового уровня анализа и синтеза данных телеизмерений. Практически для всех теорий исходным базисом для создания новых алгоритмов является традиционная позиционная система счисления [3]. При этом во многих случаях считается, что она не подлежит ревизии.

Новые технологии представления и передачи данных базируются на представлении исходного сообщения (числа) X образами-остатками b_p , получающимися в результате операции деления X на модули сравнения m_i :

$$X \equiv b_i \pmod{m_i}. \quad (1)$$

Особенность нетрадиционного представления данных образами-остатками b_i заключается в том, что последних может быть много $b_p, i = 1, 2, \dots, k$. Их число определяется количеством использованных модулей сравнения $m_i, i = 1, 2, \dots, k$. В этом случае говорят о представлении X системой остаточных классов (СОК):

$$\begin{aligned} X &\equiv b_1 \pmod{m_1}; \\ X &\equiv b_2 \pmod{m_2}; \\ X &\equiv b_k \pmod{m_k}. \end{aligned} \quad (2)$$

Применительно к процессам, к числу которых относятся и телеметрируемые параметры (ТМП), формулы (1) и (2) записываются в следующем виде:

$$x(t) \equiv b_i(t) \pmod{m_i}; i = 1, 2, \dots, k. \quad (3)$$

При этом для однозначного восстановления данных ТМИ произведение модулей сравнения необходимо выполнить условия $m_1 \times m_2 \times \dots \times m_k \geq \text{Ш}$, где Ш – шкала представления значений ТМП.

1. Основные аналитические соотношения, относящиеся к представлению данных образами-остатками

В существующих телеметрических системах данные телеизмерений представлены информационными словами, имеющими разрядность от 8 до 10 бит. Шкала однозначного отображения всего набора данных, задаваемых двоичными n -разрядными кодами определяется от 0 до $2^n - 1$. Следовательно, для байтовых слов она определяется значениями 0–255, при $n = 10$ Ш = 0–1023.

Если брать байтовую структуру слов, то в соответствии с конструктивной теорией конечных полей (КТКП), необходимо найти такие два числа, которые бы число 255 делилось без остатка с минимальной разницей между собой. Для приведенного примера это модули 15 и 17 ($15 \times 17 = 255$). Не сложно заметить, что в структуре данного разложения присутствует следующее известное алгебраическое тождество:

$$2^n - 1 = (2^{n/2} - 1)(2^{n/2} + 1). \quad (4)$$

В свою очередь алгебраическое представление числа $(2^{n/2} - 1)$ можно разложить на следующие множители:

$$2^{n/2} - 1 = (2^{n/4} - 1)(2^{n/4} + 1). \quad (4^*)$$

При больших значениях n , определяющих разрядность кодовых комбинаций C_i , этот процесс может быть продолжен до получения минимального модуля сравнения, равного 3 ($m_i = 3$).

Далее из следующих друг за другом словизмерений W_1, W_2, \dots, W_s могут быть составлены информационные предложения, фразы или пакеты данных. При этом зачастую нужную информацию несет не само отдельное информационное слово W_i , а их совокупность (предложения, фразы или пакеты данных).

Пример 1. В качестве примера приведем структуру одной из фраз, используемой при передаче информации СРНС ГЛОНАСС:

45 4C 30 30 39 27 1F 2E | 10 40 09 28 14 20 0D 0A;
0100.0101|0100.1100|0011.0000|0011.0000|0011.1001|
0010.0111|0001.1111|0010.1110|;
0001.0000|0100.0000|0000.1001|0010.1000|0001.0100|
0010.0000|0000.1101|0000.1010|.

Всего сообщений в фразе – 16 байт, из них 2 байта – заголовок (стоит в начале), 2 байта – маркировка окончания (размещены в конце) и информационных – 12 байт.

2. Преобразование данных и информационных предложений с использованием образов-остатков

Для демонстрации новых технологий с использованием нетрадиционного представления данных образами-остатками примем, что число байтовых слов, объединенных в предложение, равно 4 ($s = 4$):

$$\begin{aligned} W_1 &= \langle 1011\ 1111 \rangle_2 = \langle 191 \rangle_{10}; \\ W_2 &= \langle 1011\ 1111 \rangle_2 = \langle 134 \rangle_{10}; \\ W_3 &= \langle 1010\ 0000 \rangle_2 = \langle 160 \rangle_{10}; \\ W_4 &= \langle 1101\ 1111 \rangle_2 = \langle 223 \rangle_{10}. \end{aligned}$$

Предположим, что они объединены в информационное предложение

$$И = \langle W_1, W_2, W_3, W_4 \rangle_2. \tag{5}$$

При первом преобразовании, связанном с нахождение образов-остатков по модулям числам $m_1 = 15$ и $m_2 = 17$, получим

$$И_{\text{нп1}}^{(\text{КОЮ})} = \langle \mathbf{b}_{1r} \mathbf{b}_{12}; \mathbf{b}_{2r} \mathbf{b}_{22}; \mathbf{b}_{3r} \mathbf{b}_{32}; \mathbf{b}_{4r} \mathbf{b}_{42} \rangle_2. \tag{6}$$

Далее объединяем полученные образы-остатки в

систему с использованием формальных многочленов

$$f_1(x) = b_{11} \cdot x^3 + b_{21} \cdot x^2 + b_{31} \cdot x + b_{41} \cdot (\text{mod}15); \tag{7}$$

$$f_2(x) = b_{12} \cdot x^3 + b_{22} \cdot x^2 + b_{32} \cdot x + b_{42} \cdot (\text{mod}17). \tag{8}$$

Затем выбираем модули-полиномы, например, $m_1(x) = x^2 + x$; $m_2(x) = x^2 + x + 1$ и поочередно делим на них многочлены (7) и (8) (табл. 1). Результат первичного кодирования с использованием модулярной арифметики (сравнения по модулям-числам $m_1 = 15$ и $m_2 = 17$) представлен в табл.1 значениями $X_{ci} = \{180, 239, 167, 210\}$ вместо исходной значений последовательности значений $X_i = \{191, 134, 160, 223\}$.

Его суть заключена в том, что последовательность измеренных значений (для примера следующие друг за другом четыре значения ТМП $x(t)$: 107, 109, 113, 116 преобразованы в образы-остатки $b_1 \pmod{15}$ и $b_2 \pmod{17}$, каждый из которых представлен четырьмя двоичными разрядами.

Далее из них составлены новые байтовые слова-измерения: $X_{\text{н}} = \langle b_i, b_{i+2} \rangle_2$, образующие новую последовательность данных при традиционном их восстановлении, как обычного байтового слова-измерения: 37, 71, 139, 190.

При этом имеется возможность определения ло-
Таблица 1

Результаты сравнения данных по двойному модулю

Форма представления $X(t)$	Информационные слова - $\langle X_i \rangle_2, \langle X_i \rangle_{10}, \langle X_{Ci} \rangle_2 = \langle a_1 - \text{старшее полуслово}, a_2 - \text{младшее полуслово} \rangle_2, \langle X_{Ci} \rangle_2 = \langle b_1 - \text{первое полуслово-остаток}, b_2 - \text{второе полуслово-остаток} \rangle_2$							
Двоичная (байтовая) $\langle X_i \rangle_2$	1011 1111		1000 0110		1010 0000		1101 1111	
Десятичная $\langle X_i \rangle_{10}$	$X_i=191$		$X_{i+1}=134$		$X_{i+2}=160$		$X_{i+3}=223$	
Полусловами	a_1	a_2	a_1	a_2	a_1	a_2	a_1	a_2
Двоичная $\langle X_i \rangle_2$	1011	1111	1000	0110	1010	0000	1101	1111
Образы-остатки $X_C(t)$	$m_1=15$ $b_{1i}=11$	$m_2=17$ $b_{2i}=4$	$m_1=15$ $b_{1i+1}=14$	$m_2=17$ $b_{2i+1}=15$	$m_1=15$ $b_{1i+2}=10$	$m_2=17$ $b_{2i+2}=7$	$m_1=15$ $b_{1i+3}=13$	$m_2=17$ $b_{2i+3}=2$
Полусловами	b_{1i}	b_{2i}	b_{1i+1}	b_{2i+1}	b_{1i+2}	b_{2i+2}	b_{1i+3}	b_{2i+3}
Двоичная $\langle X_C \rangle_2 = \langle b_1, b_2 \rangle_2$	1011	0100	1110	1111	1010	0111	1101	0010
Десятичная $\langle X_C \rangle_{10} = \langle b_1, b_2 \rangle_{10}$	$X_{Ci} = 180$		$X_{Ci+1} = 239$		$X_{Ci+2} = 167$		$X_{Ci+3} = 210$	

кальных свойств непрерывности (корреляционной взаимосвязи) переданных значений. Она устанавливается на основе определения разностей между предшествующими и последующими значениями в традиционной и новой форме.

Для первой последовательности абсолютные разности равны

$$\Delta_i = |107-109| = 2; \Delta_{i+1} = |109-113| = 4; \\ \Delta_{i+2} = |113-116| = 3.$$

Для второй (преобразованной) последовательности

$$\Delta_{n(i)} = |37-71| = 34; \Delta_{n(i+1)} = |71-139| = 68; \\ \Delta_{n(i+2)} = |139-190| = 51.$$

Определяя отношение k , получим

$$k = \frac{\Delta_{n(i+m)}}{\Delta_{i+m}} = 17. \quad (9)$$

Таким образом, число k , близкое к 17, можно выбрать в качестве критерия непрерывности дискретных значений ТМП. Кроме того, отмеченная особенность может составить основу нового подхода к декодированию данных, позволяющему обнаруживать и исправлять ошибки передачи ТМИ.

На основе данного критерия также осуществляется контроль достоверности приема полуслов-остатков в условиях «безыбыточного» помехоустойчивого кодирования. Здесь понятие «безыбыточного» помехоустойчивого кодирования используется в том смысле, что разрядность исходных и преобразованных слов-измерений остается неизменной. Однако фактическая избыточность информации при этом присутствует. Она связана с переходом от простой системы позиционного принципа представления слов-измерений к новой смешанной системе счисления, позиционность в которой сохраняется только внутри малых информационных элементов, к числу которых относятся образы-остатки. При этом сами образы-остатки могут меняться местами и это никак не сказывается на результатах обратного преобразования (восстановления) ТМИ. В этом заключается основной принцип непозиционной системы счисления.

3. Системы счисления и основные подходы по их выбору в адаптивных системах передачи информации

Известный пример простейшей смешанной системы – это римская система счисления. В ней, например, числу «30» в привычной арабской системе написания соответствует непозиционный его аналог «XXX». Если, например, при передаче поменять местами цифры 0 и 3, то получим значение «03». Такие превращения (ошибки) могут быть при передаче и при приеме инфор-

мации на фоне помех. Поскольку они не контролируются, то ошибка при приеме смысловой информации может быть недопустимо большой (по отношению к приведенному примеру в 10^{n-1} раз, где n – разрядность передаваемых десятиричных слов). Для приведенного примера $n=2$ и ошибка равна $\delta=10$. В случае двоичных слов ошибка определяется величинами 2^{n-1} , где n – порядковый номер значения символа «0» или «1», начиная с младшего разряда. В случае непозиционного представления этого же числа «XXX» символы можно менять местами, а получаемый при этом результат останется неизменным. Однако римская система счисления избыточна и это также следует из приведенного примера.

Однако прикладные задачи использования систем счисления при передаче информации требуют, как минимум, следующего:

- должны быть сохранены по максимуму преимущества как одной, так и другой системы;
- информационная нагрузка символа в новой смешанной системе счисления должна быть максимальной (это значит, что количество информации, переносимой одним символом, должно быть наибольшим при заданных ограничениях на разрядность слов-измерений $n=n_{mp}$, время передачи ТМИ $T \leq T_{mp}$, полосу пропускания радиоканала $\Delta f \leq \Delta f_{зад}$, и скорость передачи данных $R \leq R_{зад}$).

Последнее требование в формализованном виде может быть записано следующим образом:

$$I_{(0,1)} \rightarrow U(A_{\text{сист. счисл}}) \rightarrow \max; \quad (10) \\ n = n_{mp}; T \leq T_{mp}; \Delta f \leq \Delta f_{зад}; R \leq R_{зад},$$

где $I_{(0,1)}$ – эквивалентная информационная нагрузка двоичных символов, которая характеризует, насколько повышается информационная значимость двоичных символов по сравнению с представлением данных простым двоичным кодом;

U – оператор выбора подходящей системы счисления (представления и модуляции данных, подлежащих передаче);

$A_{\text{сист. счисл}}$ – алгоритм формирования системы счисления.

4. Основные подходы к оцениванию эффективности систем счисления и проблемно-ориентированному выбору наиболее предпочтительных альтернатив

Известный подход к оцениванию эффективности систем счисления приведен в работе [3]. При этом под экономичностью понимается тот запас чисел, для записи которого в данной системе представления требуется определенное количество символов. Воспользуемся ме-

тодикой, приведенной в работе [3], для оценивания эффективности системы счисления, основу которой составляет представление последовательности чисел результатами сравнений: $b_1(mod 38)$ и $b_2(mod 39)$. Например, для того, чтобы в десятичной позиционной системе счисления записать 1000 чисел (от 0 до 999), необходимо 30 символов (по 10 символов для каждого разряда) (табл. 2) [3]. Выбор модулей сравнения 38 и 39 был сделан из следующих противоречивых соображений:

- числовой диапазон значений должен быть не менее 1000 ($Ш = 0-999$) для обеспечения большей сравнимости с примером, приведенным в работе [3], с одной стороны, и в то же время количество символов n , которые используются для его однозначного представления должно быть минимальным. В итоге мы приходим к следующей минимаксной задаче оптимизации:

$$Ш \rightarrow \max, \text{ а } n \rightarrow \times \min. \tag{11}$$

Ее решение представлено в табличном виде (табл. 2 и 3).

Таблица 2
Традиционное позиционное представление числа

9	9	9
8	8	8
7	7	7
6	6	6
5	5	5
4	4	4
3	3	3
2	2	2
1	1	1
0	0	0

30 символов

Таблица 3
Нетрадиционное (смешанное) представление числа

b_1	m_1	b_2	m_2
	9		9
	8		8
	7		7
	6		6
	5		5
	4		4
3	3	3	3
2	2	2	2
1	1	1	1
0	0	0	0

28 символов

Табл. 2 соответствует традиционной позицион-

ной системе счисления, которая используется и при передаче информации. Из нее следует, что для того, чтобы отобразить любое число в шкале $Ш_{mp} = 0-999$ необходимо три разряда по 10 символов от 0 до 9 в каждом из них. Итого 30 символов. В табл. 3 представлен пример использования предлагаемой смешанной десятичной системы счисления, удовлетворяющей условиям минимаксной оптимизации (11). При этом шкала однозначного представления чисел расширена до значения $Ш_{СОК} = m_1 \times m_2 = 38 \times 39 = 1482 > 1000$, число символов n , необходимых для отображения натурального ряда чисел в пределах $Ш_{СОК}$ уменьшилось с 30 до 28.

Если предположить n равным, то даже в этом случае предлагаемая нетрадиционная система счисления на основе представления данных в СОК в $k_{сч} = \frac{1482}{1000} = 1,482$ раза эффективнее существующей позиционной. Применительно к ТМИ этот результат можно интерпретировать следующим образом. При представлении данных телеизмерений X двумя образами-остатками b_1 и b_3 по четыре разряда в каждом (двумя полусловами) при модулях сравнения $m_1 = 15$ и $m_3 = 17$, вместо традиционно используемого позиционного представления слов байтами (8 разрядами), плотность упаковки передаваемой информации в групповом телеметрическом сигнале (ГТС) той же структуры повышается в $k_{сч} = 1,482$ раз.

Этот же результат можно интерпретировать в рамках существующей теории расчета эффективности различных систем передачи информации и как эквивалентное увеличение информационной нагруженности (насыщенности) каждого из передаваемых символов двоичного кода в $k_{сч} = 1,482$ раз.

Таким образом, неявно присутствующая избыточность в передаваемых данных обусловлена тем, что используется нетрадиционная смешанная система счисления при представлении данных телеизмерений. Поэтому противоречий с теорией классического помехоустойчивого кодирования также нет.

5. Предложения по кодированию данных в системе остаточных классов (СОК)

В общем случае основу кодирования составляет система остаточных классов (СОК), которая связана с представлением данных X образами-остатками, например, b_1, b_2, b_3 , полученными при выполнении операций деления X на модули сравнения m_1, m_2, m_3 .

$$\begin{aligned} X &\equiv b_1(mod m_1), m_1 = 2^n - 1; \\ X &\equiv b_2(mod m_2), m_2 = 2^n; \\ X &\equiv b_3(mod m_3), m_3 = 2^n + 1. \end{aligned} \tag{12}$$

Синтезированные на их основе коды идеально

подходят для исправления, как одиночных ошибок, так и групповых ошибок. Известные коды такой способностью не обладают.

Оптимальными для случая кодирования байтовых слов ($2n = 8$ бит) будут следующие модули:

$$m_1 = 2^4 - 1 = 15; m_2 = 2^4 = 16; m_3 = 2^4 + 1 = 17.$$

Оптимальность такого выбора определяется следующими факторами:

- описанными выше свойствами произведения модулей $m_1 \times m_3 = (2^n - 1)(2^n + 1) = 2^{2n} - 1$, в результате которого обеспечивается возможность восстановления данных в шкале $(0 - 2^{2n})$ (для байтовых слов в шкале $0 - 255$);

- возможностью замены операции деления X на модули сравнения m_1, m_3 на ЗМК, основу которой составляет сложение старших и младших полуслов (полубайт) a_1 и a_2 в прямом и инверсном виде (при этом остаток b_2 по модулю $m_2 = 2^n$ представляет собой младшее полуслово a_2 ($a_2 = b_2$)).

На рис. 1 приведены графические отображения одного и того же ТМП:

а) представленного в традиционном виде $x(t)$ (вверху);

б) составленного из двух образов-остатков $x_{ni}(t) = \langle b_1(t), b_3(t) \rangle_2$, где $\langle \rangle_2$ – знак объединения образов-остатков $b_1(t), b_3(t)$ в новое слово-измерение той же порядности, что и исходное $x(t)$.

$$\uparrow x(t), x_{ni}(t)$$

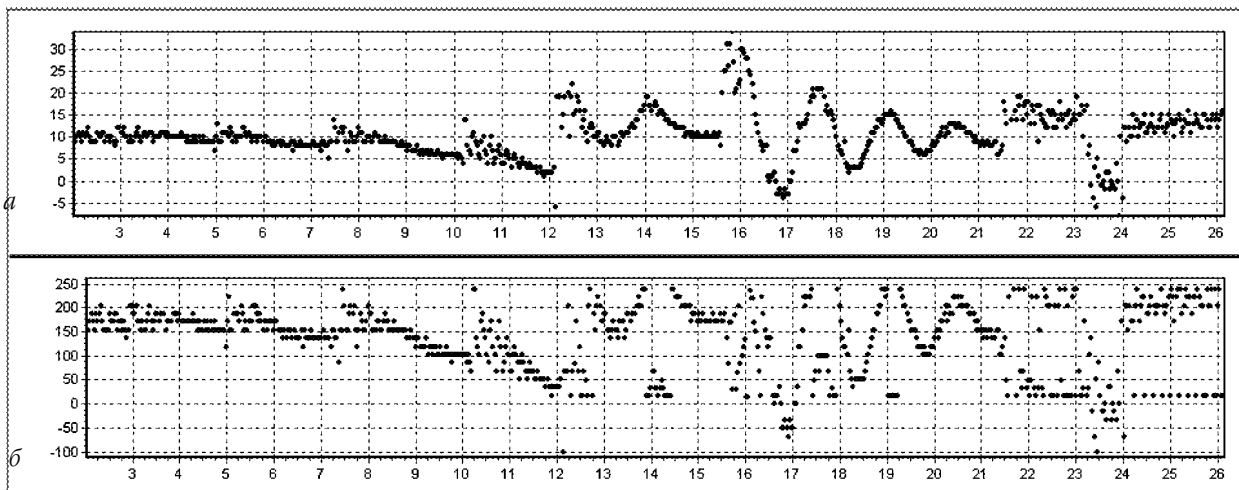


Рис. 1. Графические отображения одного и того же ТМП:

а – представленного в традиционном виде $x(t)$; б – составленного из двух образов-остатков $x_{ni}(t) = \langle b_1(t), b_3(t) \rangle_2$

Исходные значения ТМП были представлены в узком амплитудном диапазоне (от -5 до 32), в то время как исходная шкала III представления данных телеизмерений представлена в интервале от -255 до $+255$. Коэффициент полезного использования шкалы телеизмерений III равен

$$K_{ш}^{(mp)} = (32 - (-5))/512 = 37/512 = 0,072.$$

После преобразований

$$K_{ш}^{(СОК)} = (255 - (-100))/512 = 355/512 = 0,693.$$

Коэффициент $k = K_{ш}^{(СОК)} / K_{ш}^{(mp)}$ полезного использования отведенной шкалы телеизмерений III преобразованного ТМП $x_n(t) = \langle b_1(t), b_3(t) \rangle_2$ может быть выбран в качестве одного из критериев эффективности телеметрической системы. Для приведенных на рис. 1 примеров различного представления одного из реальных ТМП он равен: $k = 0,693/0,072 = 9,625$. Эффект значительный. Ничего подобного нельзя достичь при использовании традиционного подхода.

Кроме того, одно из преимуществ нетрадиционного представления данных образами-остатками заключается в том, что количество различных проблемно-ориентировочных преобразований может быть большим. Это свойство составляет основу построения новой системы структурно-алгоритмической защиты ТМИ от несанкционированного доступа (НСД).

6. Использование дополнительного преобразования информационных предложений, фраз и пакетов данных на основе сравнения по модулям-полиномам

Составим информационное предложение (I_{np}) из следующих четырех байтовых слов:

$$I_{np} = \{W_1; W_2; W_3; W_4\} = \{142_{10}, 58_{10}, 36_{10}, 200_{10}\} \Rightarrow \langle 10001110 \rangle_2, \langle 00111010 \rangle_2, \langle 00100010 \rangle_2, \langle 11001000 \rangle_2, \quad (13)$$

где $W_1; W_2; W_3; W_4$ – слова, представленные в традиционном виде, и их численные, и кодовые значения.

Представим эти слова в виде СОК: $7 + 6; 13 + 7; 6 + 2; 5 + 13$. Выделим все остатки по модулю 15 и составим

вим формальный многочлен третьей степени

$$f_1(x) = 7x^3 + 13x^2 + 6x + 5 \pmod{15};$$

$$f_2(x) = 6x^3 + 7x^2 + 2x + 13 \pmod{17}.$$

Поделим каждое уравнение на следующие выделенные модули-полиномы:

$$m_1(x) = x^2 + x \text{ и на } m_2(x) = x^2 + x + 1.$$

В результате деления получают следующие полиномы-остатки:

$$\begin{aligned} b_1^{(1)}(x) &= \alpha_{11}x + \alpha_{12}; & b_1^{(2)}(x) &= \alpha_{21}x + \alpha_{22}; \\ b_2^{(1)}(x) &= \beta_{11}x + \beta_{12}; & b_2^{(2)}(x) &= \beta_{21}x + \beta_{22}. \end{aligned} \quad (14)$$

Передаче подлежат преобразованные слова, составленные из коэффициентов

$$I_{np2}^{(0)} = \langle \alpha_{11}, \alpha_{12}, \alpha_{21}, \alpha_{22}, \beta_{11}, \beta_{12}, \beta_{21}, \beta_{22} \rangle_2 \quad (15)$$

Применительно к данному примеру результаты кодирования будут иметь следующий вид:

$$\begin{aligned} \alpha_{11} &= 0; & \alpha_{12} &= 5; & \alpha_{21} &= 8; & \alpha_{22} &= 14; \\ \beta_{11} &= 1; & \beta_{12} &= 13; & \beta_{21} &= 12; & \beta_{22} &= 12. \end{aligned}$$

При переходе к двоичному коду получим следующее преобразованное информационное предложение (14):

$$\begin{aligned} I_{np2}^{(0)} &= \{W_{1np}; W_{2np}; W_{3np}; W_{4np}\} = \\ &= \{0 + 5; 8 + 14; 1 + 13; 12 + 12\} = \\ &= \langle 0000.0101 \rangle_2, \langle 1000.1110 \rangle_2, \langle 0001.1101 \rangle_2, \langle 1100.1100 \rangle_2, \end{aligned}$$

где $W_{1np}; W_{2np}; W_{3np}; W_{4np}$ – новые (преобразованные) слова той же разрядности и значения составляющих их образов-остатков.

Декодирование может быть выполнено двумя способами:

1 на основе конструктивной теоремы об остатках [15];

2 с использованием следующих аналитических соотношений, позволяющих, например, перейти от переданных коэффициентов полиномов-остатков $\alpha_{11}, \alpha_{12}, \alpha_{21}, \alpha_{22}$ к результатам сравнения $b_{1i}, b_{1(i+1)}, b_{1(i+2)}, b_{1(i+3)}$, полученных по модулю $m_1 = 15$ для каждого из преобразованных слов:

$$\begin{aligned} b_{1i} &= \alpha_{21} - \alpha_{11}; \\ b_{1(i+1)} &= \alpha_{21} + \alpha_{22} - \alpha_{12} - \alpha_{11}; \\ b_{1(i+2)} &= \alpha_{21} + \alpha_{22} - \alpha_{12}; \\ b_{1(i+3)} &= \alpha_{22}. \end{aligned} \quad (16)$$

Из (3) следует следующее проверочное уравнение:

$$\begin{aligned} b_{1(i+2)} - b_{1(i+1)} &= \alpha_{11}; \\ b_{1i} - b_{1(i+1)} &= \alpha_{12} - \alpha_{22}; \\ b_{1i} &= \alpha_{21} - \alpha_{11}. \end{aligned} \quad (17)$$

В то же время $m_1(x) = x^2 + x = x(x+1)$. Это значит, что

$$\gamma_{11}(x) \equiv 5 \pmod{x} \text{ и } \gamma_{12}(x) \equiv 5 \pmod{(x+1)}; \quad (18)$$

$$\gamma_{21}(x) \equiv 13 \pmod{x} \text{ и } \gamma_{21}(x) \equiv 12 \pmod{(x+1)}. \quad (19)$$

Это означает, что сформированная кодовая последовательность дополняется остатками от сравнения

по модулям $m_{11}(x) = x$ и $m_{12}(x) = x + 1$.

При этом новая избыточная кодовая конструкция формируется в результате объединения данных (14) и (15):

$$I_{np2}^{(исб)} = \langle \alpha_{11}, \alpha_{12}, \alpha_{21}, \alpha_{22}, \beta_{11}, \beta_{12}, \beta_{21}, \beta_{22} \rangle_2 \quad (15^{**})$$

При этом проверочные уравнения при безызыточном кодировании

$$\begin{aligned} b_{1(i+2)} - b_{1(i+1)} &= \alpha_{11}; \\ b_{1i} - b_{1(i+1)} &= \alpha_{12} - \alpha_{22}; \\ b_{1i} &= \alpha_{21} - \alpha_{11}. \end{aligned} \quad (17^*)$$

$$\begin{aligned} b_{2(i+2)} - b_{2(i+1)} &= \beta_{11}; \\ b_{2i} - b_{2(i+1)} &= \beta_{12} - \beta_{22}; \\ b_{2i} &= \beta_{21} - \beta_{11}. \end{aligned} \quad (20)$$

будут дополнены следующими соотношениями:

$$\begin{aligned} b_{1(i+3)} &= \alpha_{22} = \gamma_{11}; & b_{2(i+3)} &= \beta_{22} = \gamma_{13}; \\ -b_{1i} + b_{1(i+1)} - b_{1(i+2)} - b_{1(i+3)} &= \gamma_{12}; \\ -b_{2i} + b_{2(i+1)} - b_{2(i+2)} - b_{2(i+3)} &= \gamma_{22}. \end{aligned} \quad (21)$$

В результате получаем помехоустойчивый код с 50% избыточностью данных, который обладает способностью не только обнаружения, но и исправления ошибок.

Один из вариантов графического представления предлагаемого помехоустойчивого кодирования ТМП представлен на рис. 2.

В результате помехоустойчивого кодирования разрушены корреляционные связи между значениями ТМП, что необходимо было сделать в рамках такой процедуры, как рандомизация данных сформированного ГТС. Она необходима для повышения устойчивости синхронизации данных ТМИ при их приеме.

В рассматриваемом случае она совмещена с операцией помехоустойчивого кодирования ТМИ.

Заключение

В результате проведенных исследований показано, что один из наиболее перспективных методов оптимизационного разрешения существующих противоречий ИТО испытаний РКТ связан с нетрадиционным представлением данных образами-остатками. Наиболее подробно рассмотрена новая технология, связанная с формализованным описанием совокупности кодовых конструкций, представляющих информационные предложения, фразы и пакеты данных, формальными многочленами и с переходом к передаче в линию связи коэффициентов полиномов-остатков, которые представляют собой результат деления формальных многочленов на полиномы-модули. При этом по сравнению с классической теорией конечных полей не накладываются жесткие ограничения, требующие, чтобы модули-полиномы представляли собой неприводимые многоч-

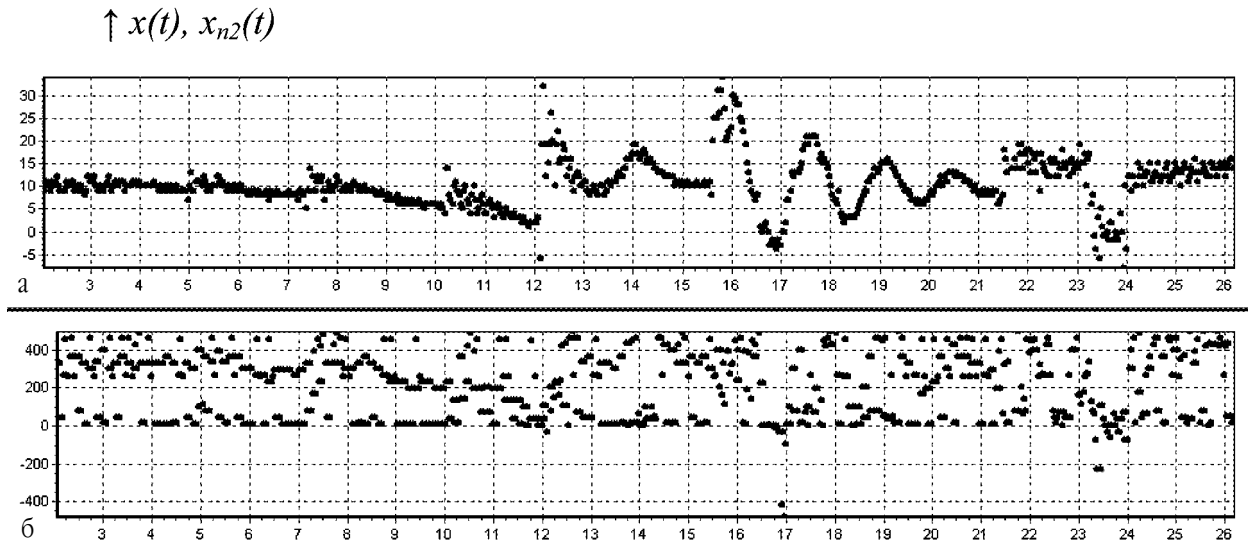


Рис. 2. Графические отображения одного и того же ТМП:
а – представленного в традиционном виде $x(t)$; б – составленного из коэффициентов полиномов-остатков

лены. Благодаря этому существенно упрощена практическая реализация предлагаемых технологий.

Литература

1. Кукушкин С.С. Теория конечных полей и информатика: т.1 «Методы и алгоритмы, классические и нетрадиционные, основанные на использовании конструктивной теоремы об остатках», - М.: МО РФ, 2003 – 284с.
2. Виноградов ИМ. Основы теории чисел. - М.: Наука, 1980. - 118с.
3. Фомин С.В. Системы счисления. М.: Наука. Главная редакция физи-ко-математической литературы, 1980. - 48с.
4. Диффи У, Хелман М. Защищенность и имитостойкость: / Введение в криптографию // ТИИЭР, том 67, №3, 1979.
5. Питерсон У, Узлдон Э. Коды, исправляющие ошибки. – М.: Мир, 1976. – 593с.
6. Лидл Р., Нидеррайтер Г. Конечные поля. В 2-х томах. Пер с англ. - М.: Мир, 1988. - 882с.

Материал поступил в редакцию 24. 03. 2011 г.